

高三地理

考生注意：

1. 本试卷分选择题和非选择题两部分。满分 100 分，考试时间 90 分钟。
2. 答题前，考生务必用直径 0.5 毫米黑色墨水签字笔将密封线内项目填写清楚。
3. 考生作答时，请将答案答在答题卡上。选择题每小题选出答案后，用 2B 铅笔把答题卡上对应题目的答案标号涂黑；非选择题请用直径 0.5 毫米黑色墨水签字笔在答题卡上各题的答题区域内作答，超出答题区域书写的答案无效，在试题卷、草稿纸上作答无效。
4. 本卷命题范围：地球运动、大气运动、水的运动。

一、选择题：本题共 22 小题，每小题 2 分，共 44 分。在每小题给出的四个选项中，只有一个选项是符合题目要求的。

中国空间站（距地面约 420 km）第 2 个实验舱段——梦天实验舱于 2022 年 8 月完成出厂前所有研制工作且已运抵海南文昌航天发射场，将于今年 10 月发射。梦天实验舱发射入轨后，中国空间站三个舱段将形成“T”字基本构型，完成空间站在轨建造，如下图所示。据此完成 1~3 题。

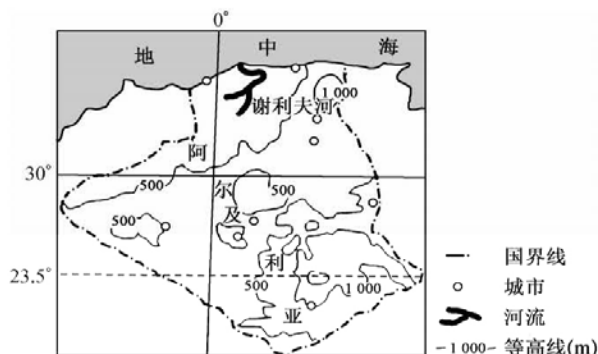


1. 中国空间站所处的最低一级天体系统
A. 由炽热气体组成
B. 直径约 10 万光年
C. 由众多恒星组成
D. 中心天体存在生命
2. 梦天实验舱选择在海南文昌航天发射场发射，主要考虑的是
A. 航天基础好
B. 降水较少
C. 线速度较大
D. 光照较弱
3. 对中国空间站与地面的信息联系影响最大的是
A. 太阳辐射
B. 流星现象
C. 陆地地震
D. 耀斑爆发

下面左图中①②③④⑤依次代表地质历史时期的五个地质年代（图中数字代表距今时间，单位：亿年），右图为湖北十堰市博物馆“龙蛋共生”图片。据此完成 4~6 题。

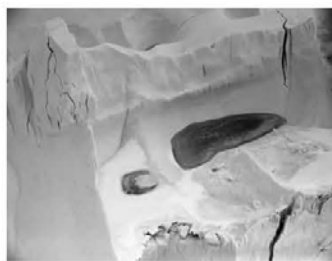
【高三 9 月质量检测·地理 第 1 页(共 6 页)】

阿尔及利亚位于非洲西北部,每年8月气温最高。谢利夫河是该国最长的河流,流经高原时形成一系列沼泽和泥塘。阿尔及利亚太阳能资源丰富,南部撒哈拉地区年太阳辐射总量高于北部沿海地区。下图示意阿尔及利亚地理位置。据此完成12~14题。



12. 每年8月阿尔及利亚气温最高的主要原因是
- A. 海陆热力性质差异大
B. 受副热带高压控制
C. 受冷而重的信风控制
D. 正午太阳高度最大
13. 谢利夫河
- A. 水位季节变化大
B. 积雪融水补给为主
C. 沿途水量散失少
D. 大致自北向西南流
14. 阿尔及利亚南部撒哈拉地区年太阳辐射总量高于北部沿海地区的主要原因是
- A. 地势起伏小
B. 以地中海气候为主
C. 白昼时间长
D. 降水少,光照强烈

融池是极地的冰盖或巨型冰川表面的冰融化后,流水汇聚而成的水池。南极冰盖绝大部分分布在南极圈内,约占南极大陆面积的98%。南极地区融池主要分布在冰盖边缘,冰面河与融池组成了冰盖边缘的水系。随着全球气候变暖,南极地区融池数量增多趋势明显,融池的出现加速了南极冰盖边缘的崩解。下图示意某年航拍的融池景观。据此完成15~17题。



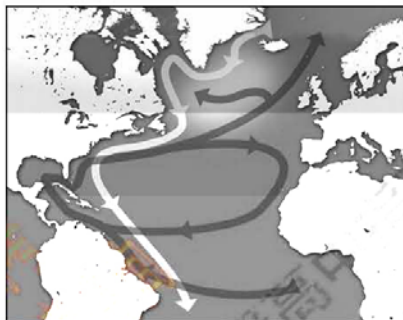
15. 南极地区融池主要分布在冰盖边缘,其主要影响因素是
- A. 距海远近
B. 洋流性质
C. 风力大小
D. 纬度高低
16. 融池能加速南极冰盖边缘崩解,主要是因为融池水的
- A. 蒸发
B. 冰面流动
C. 下渗
D. 盐度高

【高三9月质量检测·地理 第3页(共6页)】

17. 融池增多导致南极地区

- A. 海水的盐度降低
B. 海冰变厚
C. 地面反射率增大
D. 生态改善

北大西洋经向翻转环流作为全球大洋的极向热量输送带,对大西洋附近区域的天气及全球气候变化都存在至关重要的影响。该环流系统可分为上下两层:表层流将低纬度地区的热量向格陵兰岛、西欧和北欧地区输送;在抵达挪威和格陵兰海时,表层海水下沉至海洋深层并转向南流动,形成深层流,如下图所示。据此完成 18~19 题。



18. 北大西洋经向翻转环流系统中,表层流海水较深层流海水

- A. 温度高,密度小
B. 温度高,密度大
C. 温度低,密度小
D. 温度低,密度大

19. 北大西洋经向翻转环流导致

- A. 高低纬间淡水交换不畅
B. 北极航道通航时间变长
C. 欧洲西部沿岸降水偏少
D. 海洋中的总盐量增加

某年 3 月 25~30 日,北美部分地区受到冷空气影响,出现降温。下图示意该年 3 月 25~30 日冷空气影响期间北美部分地区降温范围。据此完成 20~22 题。



20. 造成北美部分地区降温的冷空气

- A. 发源于西伯利亚
B. 31 日移向墨西哥湾
C. 冬季弱,夏季强
D. 与暖空气势力相当

21. 图中降温区呈“南窄北宽”分布的主导因素是

- A. 冷空气强度
B. 河流水系
C. 海陆位置
D. 地形格局

【高三 9 月质量检测·地理 第 4 页(共 6 页)】

22. 当冷空气经过 S 区域时

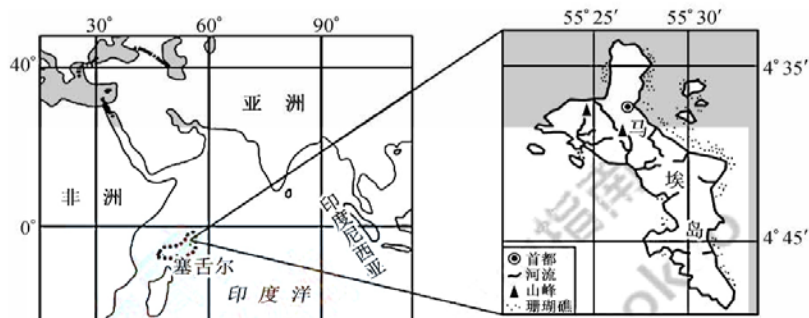
- ①移动速度快 ②移动速度慢 ③降水较多 ④降水较少

- A. ①③ B. ①④ C. ②③ D. ②④

二、非选择题:共 56 分。

23. 阅读图文材料,完成下列要求,更多试题与答案关注微信公众号:三晋高中指南。(18分)

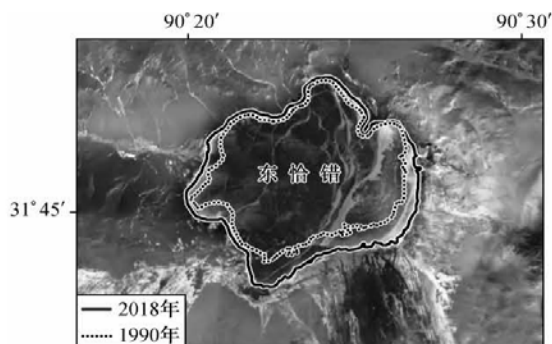
塞舌尔是坐落在非洲东部印度洋上的一个群岛国家,面积约 451 km²,由 115 个岛屿组成,马埃岛是该国第一大岛。该国渔业资源丰富,全境半数地区为自然保护区。下图示意塞舌尔地理位置。



- (1)指出塞舌尔的主要气候特点及成因。(6分)
 (2)马埃岛周边珊瑚礁分布较广,说明该岛周边海域利于珊瑚生长的自然条件。(6分)
 (3)分析塞舌尔渔业资源丰富的主要自然原因。(6分)

24. 阅读图文材料,完成下列要求。(18分)

湖泊是陆地水圈的重要组成部分,其所提供的淡水资源为工农业生产和人类生活提供了重要保障。湖泊岸线形态受湖泊水域范围波动的影响,岸线形态的改变直接反映了水陆界面对湖泊动态变化的反馈。东恰错是青藏高原的一个终端湖泊(流域内部径流的终点),下图示意 1990 年、2018 年东恰错湖岸线变化。



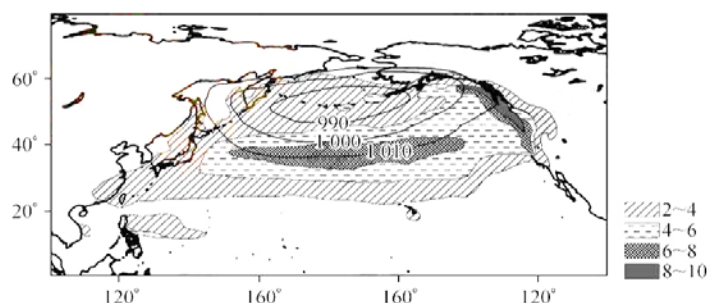
- (1)指出 1990~2018 年东恰错湖岸线的整体变化状况,并推测原因。(8分)

【高三 9 月质量检测·地理 第 5 页(共 6 页)】

- (2)比较东恰错南北两岸坡度的陡缓,并说明判断依据。(6分)
(3)分析东恰错湖面积变化状况对当地气候的主要影响。(4分)

25. 阅读图文材料,完成下列要求,更多试题与答案关注微信公众号:三晋高中指南。(20分)

北半球的副极地低气压带和副热带高气压带多以气压中心的形式存在。北太平洋的阿留申低压是一个半永久性低压,其强度、中心位置和范围季节变化显著,对北太平洋及东西两岸气候有着重要影响。下图示意冬季北太平洋局部地区平均海平面气压(单位:hPa)和降水场(单位: $\text{mm} \cdot \text{d}^{-1}$)分布。



- (1)南半球的气压带多呈带状分布,连续性好;而北半球的气压带比较破碎,多以气压中心的形式存在,连续性差。与南半球相比较,说明北半球气压带连续性差的主要原因。(6分)
(2)与夏季相比,指出冬季阿留申低压在强度、中心位置及范围三方面的特点。(6分)
(3)分析降水场东北部降水高值区的成因。(8分)

高三地理参考答案、提示及评分细则

1. D 分析可知,中国空间站所处的最低一级天体系统是地月系,其中心天体是地球,是一颗适合生物生存和繁衍的行星。恒星是由炽热气体组成、能自己发光的球体或类球状天体;银河系由众多恒星组成,直径约 10 万光年。
2. C 结合所学知识可知,海南文昌航天发射场是世界上为数不多的低纬度发射场之一,可以借助接近赤道的较大线速度,以及惯性带来的离心现象,使火箭燃料消耗大大减少。
3. D 结合所学知识分析可知,耀斑爆发产生的高能带电粒子会扰动电离层,干扰无线电短波通信,影响中国空间站与地面的信息联系。
4. C 推测可知,日最高气温达 44℃及以上当日应以晴朗天气为主,大气对太阳辐射的削弱作用弱,到达地面的太阳辐射增强,地面辐射增强,大气辐射增强。
5. B 结合所学知识分析可知,2022 年 6 月以来,北半球西太平洋副热带高压西伸北进,形成大范围的环球暖高压带,在其控制下盛行下沉气流,有利于地面增温,且在大范围高压带的作用下,空气较为干燥,不易形成云,使得太阳辐射更容易到达地面,导致高温频发,且强度较强。
6. C 据图分析可知,该城市最高气温出现在 14:00 前后,说明该城市位于 120°E 附近,最可能是南京。
7. A 分析可知,该城市位于 120°E 附近,7 月 28 日日平均气温较高且无阴雨,说明受高压(长时间被加热的陆地温度很高,热空气抬升而形成)控制,17:00 气温达到一天中最低值,最可能是因为风力较大,加快气流运动,导致气温较低。
8. D 分析可知,从 7 月 28 日起,再过半个月后,太阳直射点大致位于 10°N(太阳直射点大约每 4 天移动 1 个纬度),南极圈内的极夜范围变小,北京昼夜长短的差值变小,澳门正午人影朝向正北方,悉尼日出东北、日落西北。
9. B 结合所学知识分析可知,每年 8 月阿尔及利亚大部分地区受副热带高压控制,多晴朗天气,日照强烈,导致该国该月气温最高。
10. A 据图分析可知,谢利夫河流程较短,大致自南向北注入地中海,位于地中海气候区,以雨水补给为主,水位季节变化大;沿途形成一系列的沼泽和泥塘,水量散失大。
11. D 分析可知,阿尔及利亚北部沿海地区为地中海气候,南部撒哈拉地区为热带沙漠气候,与北部沿海地区相比,南部撒哈拉地区降水少,光照强烈,年太阳辐射总量较北部沿海地区高。
12. D 据材料分析可知,南极大陆面积的 98% 被冰盖覆盖,冰盖边缘地区纬度较低,太阳辐射较强,气温较高,随着全球气候变暖,冰盖边缘地区的冰更容易融化,冰川融水汇聚形成融池。
13. C 融池水会渗透到冰面下,或形成裂隙,或对冰的底部形成润滑,从而降低了冰盖边缘的稳定性,加速南极冰盖边缘崩解。
14. A 分析可知,融池增多后对太阳辐射的吸收进一步增强,将加速融池下面的冰盖融化,导致海水升温,海冰变薄,海平面上升,海水得到稀释,海水的盐度降低;融池增多导致南极地区的地面反射率减小,部分动植物栖息地受到影响,生态环境恶化,威胁动植物生存。
15. B 据图对比可知,土壤密度均值大小表现为核桃楸林>针阔混交林>山杨林>油松林>蒙古栎林,随着上层深度增加,不同林分类型土壤密度均大致呈增加的趋势。
16. C 据图可知,松山不同林分类型 A 深度土壤密度最小,说明土壤有机碳含量较大,主要是因为 A 深度较小,枯枝落叶


- 较多,微生物活跃,使得土壤有机碳含量大。
17. B 据图分析可知,造成北美部分地区降温的冷空气势力强,发源于高纬度北极地区,自北向南移动,31日移向墨西哥湾。
18. D 据图并结合所学知识分析可知,北美大陆西部是西北—东南走向的高大山系,东部为高原和东北—西南走向的低缓山地,中部是南窄北宽的平原,受冷空气影响,出现降温的区域集中在中部平原地区,使得降温区呈“南窄北宽”分布。
19. A S为苏必利尔湖,当冷空气经过面积较大的湖泊时,因下垫面摩擦力减小,其移动速度会加快;湖区水汽较充足,冷空气经过时降水较多。
20. A 从图中可以看出,该断层以上的岩层为T岩层,在T岩层与 a_1 交界处以上为完整的岩层,说明断层发生在 a_1 岩层形成之后、T岩层形成之前,即图中断层形成较 a_1 岩层晚,对T岩层没有影响。
21. B 从图中可以看出,从①到②,岩层中间老两翼新,说明断层形成之前①②之间的地质构造为背斜,该地质构造是良好的储油构造。向斜有利于积蓄地下水,自流井和温泉喷涌均位于断层。
22. C 据图分析可知,沉积物在重力和压力作用下固结成岩,形成沉积岩,在水平挤压力的作用下岩层发生弯曲变形,产生褶皱,后经外力侵蚀形成背斜谷,最后岩层发生断裂形成断层。
23. (1)北半球陆地面积较广(或陆地与海洋面积相差较小或海陆热力性质差异显著);冬季陆地上形成较强的高气压,将(位置南移的)副极地低气压带割裂成两个低气压中心;夏季陆地上形成低气压,将(位置北移的)副热带高气压带割裂成两个高气压中心。(每条2分,共6分)
- (2)强度大(或中心气压低或势力强);位置偏南;控制范围广。(每条2分,共6分)
- (3)位于低压东侧,盛行暖湿气流;暖流影响,增温增湿显著;山地迎风坡,气流抬升作用强。(每条2分,共6分)
24. (1)地带性植被:热带雨林。(2分)成因:纬度低,气温高;常年受赤道低气压控制,盛行上升气流,全年多雨等。(每条2分,共4分)
- (2)位于热带地区,气候温暖;海域较浅,光照充足;受赤道无风带影响,风浪较小;入海径流量季节变化较小,水流稳定等。(每条2分,答对3条得6分,共6分)
- (3)岛屿多,海域广阔;热量充足,生物生长速度快;入海河流多,饵料丰富;近岸浅水区的珊瑚礁等生态系统,利于鱼类繁衍栖息等。(每条2分,答对3条得6分,共6分)
25. (1)板块碰撞挤压,青藏高原强烈抬升,在抬升过程中超过岩层承受能力,地面拗陷沉降形成盆地,后在盆地低洼处积水成湖。(4分)
- (2)湖岸线整体呈扩张趋势。(2分)原因:全球气候变暖,高山冰雪融水增多,入湖径流量增加;降水增加;退耕还林还草,农业引水减少;生态植被人为修复,植被涵养水源能力增强等。(每条2分,答对3条得6分,共6分)
- (3)南岸缓,北岸陡。(2分)判断依据:湖岸坡度较缓更容易被湖水侵占、扩张,形成新的湖岸线,1990~2018年,东恰错南侧湖岸线变化幅度较北侧大,说明南岸缓、北岸陡。(2分)
- (4)空气湿度增大;气温日较差和年较差变小等。(每条2分,共4分)

关于我们

自主选拔在线是致力于提供新高考生涯规划、强基计划、综合评价、三位一体、学科竞赛等政策资讯的升学服务平台。总部坐落于北京，旗下拥有网站（网址：www.zizzs.com）和微信公众平台等媒体矩阵，用户群体涵盖全国90%以上的重点中学师生及家长，在全国新高考、自主选拔领域首屈一指。

如需第一时间获取相关资讯及备考指南，请关注**自主选拔在线**官方微信信号：**zizzsw**。



 微信搜一搜

 自主选拔在线

